

## ОСНОВНЫЕ ИСТОЧНИКИ ЗАГРЯЗНЕНИЯ ВОД Р. АРДОН, ЕГО СТЕПЕНЬ И МАСШТАБЫ ПРОЯВЛЕНИЯ, ОЦЕНЕННЫЕ ПО РЕЗУЛЬТАТАМ ГЕОХИМИЧЕСКОГО ИЗУЧЕНИЯ ПРОБ ВОДЫ ИЗ КОНТРОЛЬНЫХ ПУНКТОВ (РСО-А)

А.Г. Гурбанов<sup>1</sup>, А.Б. Лолаев<sup>2</sup>, А.Б. Лексин<sup>3</sup>, С.О. Дзедобоев<sup>4</sup>, В.М. Газеев<sup>5</sup>, А.Я. Докучаев<sup>6</sup>, Л.Е. Цуканова<sup>7</sup>, О.А. Гурбанова<sup>8</sup>, А.Х. Оганесян<sup>9</sup>, В.Э. Илаев<sup>10</sup>, М.Н. Баранова<sup>11</sup>

**Аннотация.** В статье доказываемся, что основным источником с максимальной степенью техногенного загрязнения вод р. Ардон является хвостохранилище с «защитным» озером и с аномально загрязненной водой, сливаемой из него по дренажной системе в р. Ардон, в то время как ее притоки (рр. Садонка, Архондон, Уналдон) имеют второстепенное значение в этом процессе. По данным опробования р. Ардон до г. Алагир, масштабы ее загрязнения пока оцениваются в 20 км (от хвостохранилища до г. Алагир) и 30 км (от устья р. Садонки до г. Алагир). Из-за отсутствия колодезей или скважин для питьевого водоснабжения в водоносных аллювиальных горизонтах в долине р. Ардон, на отрезке от хвостохранилища и ниже по ее течению до г. Алагир (расположен на равнине), до сих пор неизвестна степень их загрязнения за счет инфильтрации аномально загрязненных вод «защитного» (от ветровой эрозии) озера в подземную гидросферу, в которой могут накапливаться экологически опасные элементы. Выявленные вариации концентраций макро- и микроэлементов в водах «защитного» озера обусловлены тем, что на МГОФ, кроме руд ССЦК, могли перерабатываться кеки с завода «Электроцинк» и руды с других объектов, содержащие As, Bi, Sb, V, Cr, B, Mo, W в значительных количествах. Разные скорости течения р. Ардон в каньоне (2.3 м/сек на отрезке от хвостохранилища и до курорта Тамиск) и на равнине (1.6–1.5 м/сек в районе г. Алагир) могли привести к дифференцированному отложению тонкодисперсного материала хвостов в донных речных отложениях. Их мощность, а соответственно и загрязняющее воздействие на воду реки в каньоне, будет меньше, чем при выходе реки на предгорную равнину, что подтверждено результатами геохимических исследований.

**Ключевые слова:** хвостохранилище промышленных отходов флотации, Мизурская обогащательная фабрика, вода в «защитном» озере, аномальные концентрации элементов, главный техногенный источник загрязнения, экологически опасные элементы, вода реки Ардон.

### ВВЕДЕНИЕ

Для решения поставленных задач важно было учитывать, что на протяжении 55 лет (до 1 января 1984 года) промышленные отходы («хвосты») Мизурской горно-обогатительной фабрики (МГОФ), с производительностью до 20 000 тонн руды в сутки от переработки руд, складировались в чаше временного хвостохранилища (в узкой боковой долине левого притока р. Ардон), расположенного над пос. Мизур. МГОФ в этот период времени работала в режиме зимнего хранения хвостов и ежегодного полного их сбрасывания в р. Ардон в паводковый период. Это, вместе с попаданием в реку шахтных и производственных стоков, привело к сильному

загрязнению речной воды и аллювиальных донных отложений **Pb, Zn, Cu, Cd, As, Ti, Sb, B, Si, Na, Al, Fe** и др. на всем ее протяжении до впадения в р. Терек и, возможно, далее, вплоть до Каспия, что могло привести к экологической катастрофе федерального уровня. Поэтому в 1984 г. в левом борту долины р. Ардон, в ее пойме в 500 м севернее сел. Унал, было построено новое Унальское хвостохранилище МГОФ.

В связи с тем, что Унальское хвостохранилище МГОФ оказывает интенсивное и постоянное негативное воздействие на экосистему Алагирского района в течение многих десятков лет [5; 6; 7; 8; 1; 2], были проведены комплексные исследования поверхностных водотоков в районе деятельности Са-

<sup>1</sup> Гурбанов Анатолий Георгиевич – к. г.-м. н., в. н. с. КНИО ВНЦ РАН, г. Владикавказ; в. н. с. лаборатории петрографии ИГЕМ РАН, г. Москва (gurbanov@igem.ru).

<sup>2</sup> Лолаев Алан Батразович – д. т. н., профессор, зав. каф. ФГБОУ СКГМИ (ГТУ), гл. н. с. КНИО ВНЦ РАН, г. Владикавказ (abl-2010@mail.ru).

<sup>3</sup> Лексин Алексей Борисович – сотрудник лаборатории «Геоинформатики», ИГЕМ РАН, г. Москва (lexin@igem.ru).

<sup>4</sup> Дзедобоев Станислав Олегович – аспирант ФГБОУ СКГМИ (ГТУ), г. Владикавказ (dzeboev.stas@mail.ru).

<sup>5</sup> Газеев Виктор Магалумович – к. г.-м. н., с. н. с. КНИО ВНЦ РАН, г. Владикавказ; н. с. лаборатории петрографии ИГЕМ РАН, г. Москва (gazeev@igem.ru).

<sup>6</sup> Докучаев Александр Яковлевич – к. г.-м. н., с. н. с. ИГЕМ РАН.

<sup>7</sup> Цуканова Лада Евгеньевна – н. с. НИИ Физики ЮФУ, г. Ростов на Дону (gur\_o@mail.ru).

<sup>8</sup> Оганесян Алексан Хачатурович – к. т. н. доцент, «СКГМИ (государственный технологический университет)», г. Владикавказ, к. т. н., н. с.; ВНЦ РАН, Россия, г. Владикавказ (pushkin1984@rambler.ru).

<sup>9</sup> Гурбанова Ольга Александровна – к. х. н., ассистент кафедры минералогии и кристаллохимии геологического факультета МГУ им. М.В. Ломоносова, г. Москва.

<sup>10</sup> Илаев Виталий Эрикович – аспирант ФГБОУ СКГМИ (ГТУ), г. Владикавказ (ive.2015@yandex.ru).

<sup>11</sup> Баранова Мария Николаевна – старший лаборант лаборатория Геоинформатики ИГЕМ РАН, Россия, г. Москва (hibari@mail.ru).

донской свинцово-цинковой компании (ССЦК) и на прилегающих территориях в бассейне р. Ардон (с притоками) для геохимической характеристики отобранных проб воды. Были определены содержания макро- и микроэлементов в водах в контрольных пунктах р. Ардон – основной водной артерии, дренирующей (вместе с боковыми притоками) район деятельности ССЦК от ее верховий (район пос. Бурон) и до выхода на предгорную равнину (южная окраина г. Алагира).

Комплексные исследования проводились в июле 2015 г. Полученные результаты геохимических анализов позволили выявить в воде р. Ардон, при ее выходе на предгорную равнину, аномальные концентрации ряда макро- и микроэлементов (**Pb, Zn, As, Bi, Cu, S, Ti** и др.), характерных для руд Садонского рудного поля. Для выявления главных техногенных и природных источников загрязнения вод р. Ардон были отобраны и проанализированы пробы из: контрольных пунктов р. Ардон и ее основных притоков; «защитного» (от эоловой эрозии пляжной части) озера, расположенного на поверхности Унальского хвостохранилища; из пульпопровода. Хвостохранилище находится в густонаселенном районе в долине р. Ардон, в 500 м севернее сел. Унал и напротив сел. Зинцар. Его площадь около 60 000 м<sup>2</sup>, а высота насыпной дамбы до 30 м. В нем захоронено 2.6 млн тонн промышленных отходов с содержаниями, по данным МГОФ (в мас. %): **Pb** – 0.21, **Zn** – 0.32, **Cu** – 0.1, **Fe** – 6.2, **Ti** – 0.18, **Mn** – 0.16 и **Ag** – 4.2 г/т. Важно отметить, что ложем хвостохранилища являются аллювиальные галечники и пески р. Ардон, через которые может осуществляться инфильтрация аномально загрязненных вод «защитного» озера в подземную гидросферу. Восточный борт хвостохранилища отделен от русла р. Ардон насыпной дамбой, укрепленной с низовой стороны железобетонной подпорной стеной, западный – близко (до 20 м) подходит к автотрассе «Транскам». Хвосты обогащения трубопроводным гидротранспортом подаются в чашу хранилища, в которой устроено водосборное сооружение шахтного типа с отводящим трубопроводом, по которому осуществляется сброс в р. Ардон осветленной части «воды» из поверхностного (до 0.2–0.3 м) слоя «защитного» озера.

При интенсивном орошении значительная часть (до 80–90 %) хвостов находится под зеркалом воды, что затрудняет как ветровую эрозию пляжной части, так и доступ кислорода в глубокие слои, это замедляет процессы окисления находящихся в хвостах сульфидов [1].

#### МЕТОДИКА ОТБОРА ПРОБ И МЕТОД ИХ ИССЛЕДОВАНИЯ

Для решения поставленных задач была разработана схема опробования (рис. 1), включающая отбор проб воды как из контрольных пунктов в р. Ардон, расположенных выше (фоновая проба на южной окраине пос. Бурон) и ниже (включая выход

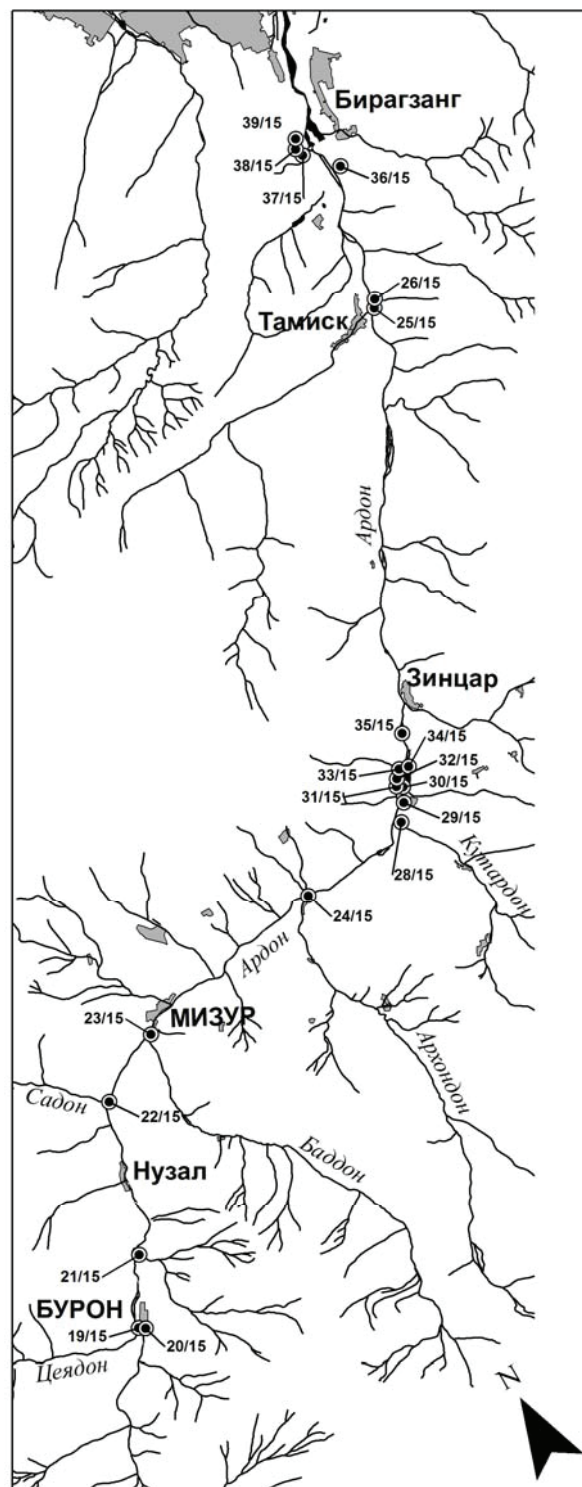


Рис. 1. Места расположения контрольных пунктов опробования вод р. Ардон и ее притоков

реки на предгорную равнину) по течению от Садонской группы месторождений и хвостохранилища, так и из устьев ее основных притоков, загрязненных стекающими в них шахтными водами. Следует отметить, что на рис. 1 показаны места отбора проб в 2015 году, однако отбор проб в 2010, 2013 и 2014 годах осуществлялся с помощью GPS-приемников

в тех же самых местах, что и в 2015 г. Такая схема опробования и анализ проб проводились для выявления основных источников загрязнения главной водной артерии района – р. Ардон и ее притоков. Кроме того, пробы воды отбирались и из «защитного озера» Унальского хвостохранилища. При опробовании учитывались погодные условия: приоритетным было продолжительное отсутствие дождей, так как дождевая вода довольно сильно разбавила бы (в неизвестной степени) речную воду и исказила бы истинные концентрации в ней макро- и микроэлементов.

Пробы воды отбирались в чистые 0.33 мл пластиковые бутылки и подкислялись 1 мл 10 % азотной кислоты и герметично закрывались.

Элементный анализ проб воды проведен атомно-эмиссионным (iCAP-6500, Thermo Scientific, США) и масс-спектральными методами с индуктивно связанной плазмой ICP-MS (X-7, Thermo Elemental, США) в Аналитическом сертификационном испытательном центре Федерального государственного бюджетного учреждения науки Института проблем технологии микроэлектроники и особо чистых материалов РАН (АСИЦ ИПТМ РАН) с использованием стандартного образца питьевой воды «Trace Metals in Drinking Water» производства High-Purity Standards (США) [2]. При МС-измерениях пробы разбавляли в 20 раз.

### РЕЗУЛЬТАТЫ АНАЛИТИЧЕСКИХ ИССЛЕДОВАНИЙ ПРОБ ВОДЫ ИЗ КОНТРОЛЬНЫХ ПУНКТОВ

Результаты аналитических исследований отобранных в контрольных пунктах в 2015 г. проб воды приведены в *таблице 1*.

### ОБСУЖДЕНИЕ РЕЗУЛЬТАТОВ ГЕОХИМИЧЕСКИХ ИССЛЕДОВАНИЙ ПРОБ ВОДЫ

В пробах определялись концентрации широкого круга элементов (*таблица 1*). При анализе концентраций элементов выделены те из них, концентрации которых превышают ПДК для питьевой воды в разы, и поэтому они несут угрозу окружающей среде по различным классам опасности. Выделяют следующие классы опасности элементов: **1-й класс** (Tl, U, As, Be, Hg) – чрезвычайно опасные. Экологическая система необратимо нарушена. Период восстановления отсутствует. **2-й класс** (Cd, Sb, W, Bi, B, Na, Si, Cr, Co, Ni, Sr, Ba, Pb, Li, Cd, Sb, W, Bi) – высоко опасные. Экологическая система сильно нарушена. Период восстановления не менее 30 лет после полного устранения источника вредного воздействия. **3-й класс** (Mo, Mg, Al, Ti, V, Mn, Fe, Cu, Zn) – умеренно опасные. Экологическая система нарушена. Период восстановления не менее 10 лет после снижения вредного воздействия от существующего источника. **4-й класс** (S, K, Ca) – малоопасные. Экологическая система нарушена. Период восстановления не менее 3 лет.

Для выявления основных техногенных и природных источников загрязнения вод р. Ардон, а также степени и масштабов его проявления была взята фоновая проба (ФП) из р. Ардон на южной окраине пос. Бурон, в которой не было выявлено превышений ПДК ни по одному элементу, и находится это место за пределами Садонского рудного поля.

Для сравнительного анализа с ФП были опробованы боковые притоки р. Ардон, в долинах которых расположены полиметаллические месторождения Садонского рудного поля. Для получения суммарного результата по загрязнению вод этих боковых притоков самоизливающимися шахтными водами пробы отбирались в их устьях.

Определение степени, масштабов и основных источников загрязнения вод р. Ардон в целом на отрезке от пос. Бурон (ФП 20/15) до хвостохранилища (проба 29/15 – в 300 м перед хвостохранилищем, т. е. за счет боковых притоков) и на предгорной равнине на южной окраине г. Алагир (проба 36/15), т. е. суммарное загрязнение.

Содержание макро- и микроэлементов в фоновой пробе (ФП) 20 /15 (левый берег р. Ардон на южной окраине пос. Бурон) приведено в *таблице 1*. В пробе 29/15, при ее сравнении с ФП, установлены повышенные (в разы) содержания: Al, V, Fe, Co, U – в 1.5; P, Ti, Mo, Tl – в 1.4; Cr, Ni, Cu – в 1.6; Mn, Be, Zr, Cs, La, Ce, Th – в 1.3; Zn – в 4.5; As – в 10.2; Pb – в 3.8; Ag – в 2.2; Cd – в 4.4; Sn – в 2.5; Sb – в 2.3; Bi – в 1.9 раза. Эти данные показали, что в р. Ардон перед Унальским хвостохранилищем произошло загрязнение ее вод вышеуказанными элементами за счет техногенных источников – шахтных вод, стекающих в боковые притоки, но ПДК (для питьевой воды) превышены (в разы) только для Al – в 9.9, Fe – в 11, As – в 1.3. Степень загрязнения оценивается как низкая, а масштабы – в 10 км.

Для оценки степени и масштабов загрязнения воды р. Ардон природными и техногенными постоянными источниками проведен сравнительный анализ проб воды, отобранных в пос. Бурон (ФП 20/15) и в г. Алагир (проба 36/15) на предгорной равнине, а также от Унальского хвостохранилища (проба 35/15) до г. Алагир (проба 36/15).

От пос. Бурон до г. Алагир. Сравнительный анализ проб 36/15 и ФП 20/15 показал, что в р. Ардон на протяжении 48 км от пос. Бурон и до г. Алагир произошло загрязнение вод за счет воздействия хвостохранилища с «защитным» озером и боковых притоков р. Ардон, выразившееся в увеличении (в разы) концентраций: В – в 5.1; Na – в 271; Mg, V и Fe – в 1.5; Al – в 1.8; Si – в 4.7; P – в 15; S – в 32.4; K – в 15.9; Ca – в 2.2; Ti – в 1.3; Mn и Y – в 1.4; Co и Rb – в 1.9; Ni – в 4.5; Cu – в 3.4; Zn – в 19.6; As – в 549; Ba – в 1.7; Pb – в 7.6; Zr – в 12.7; Mo – в 22; Sn – в 156; Sb – в 358; Cs – в 1.6; La и Ce – в 1.7; W – в 27.8; Tl – в 1.8; Bi – в 45.4; U – в 1.8, но превышение (в разы) ПДК установлено для: Al – в 12.9; Fe – в 10.7; As – в 71; Sb – в 11.9. Приведенные данные показали среднюю степень загрязнения техногенными (хвостохранилище и шахтные воды)

Таблица 1  
Содержание макро- и микроэлементов в пробах воды в контрольных пунктах р. Ардон (содержания в мкг/л, а с Li в нг/л)

| Эл-нт | ПО, мкг/л | ПДК мг/л  | Класс опасности | 19/15 | 20/15 | 21/15 | 22/15 | 23/15 | 24/15 | 25/15 | 26/15 | 28/15 | 29/15 |
|-------|-----------|-----------|-----------------|-------|-------|-------|-------|-------|-------|-------|-------|-------|-------|
| B     | 0.8       | 0.5       | 2               | 4.1   | 19.3  | 3.2   | 16.8  | 2.3   | 5.8   | 8.0   | 21.7  | 14.2  | 17.3  |
| Na    | 9         | 200       | 2               | 1506  | 2771  | 1746  | 5608  | 1537  | 2645  | 1187  | 4293  | 4277  | 2897  |
| Mg    | 4         | 50        | 3               | 3240  | 5930  | 3004  | 6256  | 2875  | 5158  | 4651  | 8369  | 5033  | 5857  |
| Al    | 0.8       | 0.2 (0.5) | 3               | 3091  | 1330  | 402   | 540   | 1980  | 5628  | 132   | 3394  | 137   | 1983  |
| Si    | 8         | 10        | 2               | 7719  | 4593  | 3463  | 3825  | 4824  | 10909 | 2134  | 8112  | 4135  | 5585  |
| P     | 12        |           |                 | 135   | 50.0  | < ПО  | 21.9  | 71.5  | 265   | 16.0  | 160   | < ПО  | 68.2  |
| S     | 35        |           |                 | 4691  | 8056  | 14420 | 10615 | 9108  | 12172 | 2332  | 11790 | 17635 | 8848  |
| K     | 2         |           |                 | 1574  | 874   | 920   | 976   | 1135  | 2054  | 544   | 1402  | 636   | 1147  |
| Ca    | 8         |           |                 | 11319 | 25078 | 24789 | 27803 | 14522 | 17837 | 52629 | 34388 | 22542 | 25968 |
| Ti    | 0.7       | 0.1       | 3               | 142   | 48.8  | 16.2  | 2.0   | 67.0  | 160   | 1.8   | 102   | 1.0   | 68.4  |
| V     | 0.1       | 0.1       | 3               | 6.8   | 2.4   | 0.80  | 0.68  | 3.5   | 12.7  | 0.44  | 6.8   | 0.12  | 3.7   |
| Cr    | 0.6       | 0.05      | 2               | 4.4   | 2.1   | < 0.8 | < 1.1 | 3.9   | 11.1  | < ПО  | 6.1   | < ПО  | 3.3   |
| Mn    | 0.04      | 0.1       | 3               | 81.2  | 51.4  | 8.3   | 28.2  | 53.3  | 173   | 8.2   | 135   | 9.6   | 68.8  |
| Fe    | 7         | 0.3       | 3               | 5028  | 2172  | 620   | 1081  | 3370  | 9979  | 216   | 6321  | 202   | 3300  |
| Co    | 0.06      | 0.1       | 2               | 1.8   | 0.87  | 0.22  | 0.63  | 1.3   | 4.4   | < ПО  | 2.4   | 0.36  | 1.3   |
| Ni    | 0.2       | 0.02      | 2               | 3.9   | 1.9   | 0.35  | 1.3   | 4.0   | 11.7  | < ПО  | 6.1   | 1.6   | 3.1   |
| Cu    | 0.2       | 1         | 3               | 2.9   | 1.8   | 0.90  | 1.8   | 2.8   | 9.7   | 0.87  | 5.5   | 3.2   | 3.0   |
| Zn    | 0.5       | 1         | 3               | 8.4   | 4.1   | 1.6   | 22.4  | 7.7   | 36.1  | 2.8   | 32.8  | 188   | 18.4  |
| As    | 0.07      | 0.01      | 1               | 2.9   | 1.3   | 4.7   | 1.1   | 1.6   | 24.6  | 2.6   | 52.7  | 17.8  | 13.3  |
| Sr    | 0.05      | 7         | 2               | 31.2  | 149   | 31.1  | 81.5  | 30.3  | 44.9  | 446   | 275   | 76.8  | 129   |
| Ba    | 0.01      | 0.7       | 2               | 19.5  | 9.2   | 5.4   | 10.7  | 6.5   | 14.3  | 12.2  | 17.2  | 6.3   | 10.8  |
| Pb    | 0.01      | 0.01      | 2               | 1.9   | 1.2   | 0.31  | 4.2   | 1.5   | 15.4  | 0.30  | 13.5  | 2.9   | 4.5   |
| Li    | 5         | 0.03      | 2               | 1991  | 5602  | 756   | 4284  | 2466  | 7281  | 1418  | 7859  | 2759  | 4587  |
| Be    | 5         | 0.0002    | 1               | 88.1  | 58.6  | 34.2  | 32.8  | 65.1  | 169   | 11.2  | 133   | 42.1  | 73.7  |
| Rb    | 9         |           |                 | 5423  | 2519  | 2610  | 1059  | 2746  | 7677  | 406   | 4921  | 490   | 3373  |
| Y     | 3         |           |                 | 1748  | 773   | 264   | 292   | 951   | 1915  | 92.9  | 1716  | 150   | 956   |
| Zr    | 5         |           |                 | 14.9  | 15.0  | 9.8   | 9.8   | 37.8  | 29.0  | 14.6  | 31.0  | 6.6   | 19.0  |

Продолжение таблицы 1

| Эл-<br>нт | ПО,<br>нг/л | ПДК,<br>мг/л | Класс<br>опасности | 19/15 | 20/15 | 21/15 | 22/15 | 23/15 | 24/15 | 25/15 | 26/15 | 28/15 | 29/15 |
|-----------|-------------|--------------|--------------------|-------|-------|-------|-------|-------|-------|-------|-------|-------|-------|
| Nb        | 3           |              |                    | 58.3  | 61.7  | 40.3  | 3.1   | 54.5  | 63.0  | <ПО   | 75.2  | <ПО   | 59.4  |
| Mo        | 9           | 0.07         | 3                  | 458   | 247   | 2370  | 473   | 374   | 321   | 562   | 372   | 656   | 347   |
| Ag        | 3           |              |                    | 5.4   | 4.5   | <ПО   | 7.3   | 4.8   | 50.7  | <ПО   | 28.0  | 3.7   | 9.7   |
| Cd        | 6           | 0.001        | 2                  | 28.5  | 10.2  | <ПО   | 86.0  | 7.7   | 101   | 8.0   | 114   | 670   | 44.5  |
| In        | 4           |              |                    | <ПО   | <ПО   | <ПО   | <ПО   | <ПО   | <9    | <ПО   | <19   | <ПО   | <9    |
| Sn        | 6           |              |                    | 28.8  | 32.8  | 19.8  | 21.1  | 23.1  | 38.7  | 38.0  | 113   | 33.7  | 80.5  |
| Sb        | 3           | 0.005        | 2                  | 207   | 166   | 127   | 169   | 162   | 305   | 225   | 2615  | 1069  | 933   |
| Te        | 4           |              |                    | <ПО   | <ПО   | <ПО   | <ПО   | <ПО   | <28   | <ПО   | <44   | <31   | <16   |
| Cs        | 0.3         |              |                    | 602   | 256   | 67.1  | 161   | 186   | 940   | 20.6  | 487   | 26.6  | 329   |
| La        | 3           |              |                    | 1671  | 606   | 231   | 192   | 1148  | 1358  | 146   | 1480  | 152   | 811   |
| Ce        | 4           |              |                    | 3582  | 1333  | 487   | 538   | 2476  | 3376  | 338   | 3270  | 420   | 1784  |
| Pr        | 0.5         |              |                    | 417   | 157.0 | 59.7  | 64.7  | 289.7 | 435.3 | 38.2  | 409   | 37.2  | 214   |
| Nd        | 1           |              |                    | 1697  | 680   | 249   | 311   | 1193  | 1969  | 162   | 1733  | 171   | 915   |
| Sm        | 0.4         |              |                    | 388   | 166   | 56.5  | 88.2  | 256   | 497   | 33.8  | 430   | 42.9  | 218   |
| Eu        | 0.3         |              |                    | 68.4  | 28.8  | 6.7   | 20.5  | 48.9  | 97.0  | 6.5   | 81.2  | 8.1   | 42.0  |
| Gd        | 0.4         |              |                    | 410   | 176   | 63.8  | 99.0  | 261   | 527   | 33.9  | 454   | 46.6  | 237   |
| Tb        | 0.3         |              |                    | 62.7  | 28.3  | 10.1  | 13.7  | 37.6  | 79.5  | 4.5   | 67.9  | 6.4   | 35.7  |
| Dy        | 0.2         |              |                    | 366   | 159   | 53.5  | 71.4  | 214   | 429   | 23.9  | 381   | 32.6  | 206   |
| Ho        | 0.4         |              |                    | 67.0  | 29.0  | 9.3   | 11.2  | 37.2  | 77.3  | 3.6   | 67.2  | 5.7   | 37.5  |
| Er        | 0.3         |              |                    | 196   | 84.0  | 25.0  | 25.5  | 102   | 207   | 10.0  | 181   | 14.2  | 107   |
| Tm        | 0.2         |              |                    | 24.9  | 11.2  | 3.8   | 3.1   | 13.1  | 25.4  | 1.0   | 23.3  | 1.4   | 13.3  |
| Yb        | 0.3         |              |                    | 141   | 58.5  | 18.5  | 15.3  | 68.7  | 142   | 6.7   | 130.1 | 8.8   | 75.4  |
| Lu        | 0.3         |              |                    | 21.6  | 10.2  | 3.2   | 2.0   | 9.3   | 20.0  | 0.78  | 18.8  | 1.1   | 10.9  |
| Hf        | 0.4         |              |                    | 3.0   | 1.4   | 0.7   | 1.0   | 2.5   | 4.6   | 1.0   | 3.6   | <ПО   | 2.5   |
| Ta        | 0.9         |              |                    | 2.5   | 1.0   | <ПО   | <ПО   | 1.3   | 3.2   | <ПО   | 3.1   | <ПО   | 1.2   |
| W         | 3           | 0.05         | 2                  | 7.4   | 10.5  | 78.3  | 17.8  | 10.9  | 53.7  | 3.5   | 33.6  | 22.1  | 24.3  |
| Re        | 0.5         |              |                    | 1.4   | <ПО   | 3.3   | <ПО   | 1.0   | <ПО   | 3.3   | 1.1   | <ПО   | 1.2   |
| Tl        | 0.4         | 0.0001       | 1                  | 45.3  | 18.0  | 11.0  | 5.5   | 20.3  | 67.7  | 4.7   | 42.1  | 2.4   | 24.6  |
| Bi        | 1.8         | 0.1          | 2                  | 14.9  | 13.8  | 8.2   | 12.7  | 21.4  | 262   | 6.0   | 82.2  | 7.0   | 27.2  |
| Th        | 2.1         |              |                    | 867   | 397   | 292   | 70.2  | 471   | 1039  | 31.4  | 971   | 29.8  | 511   |
| U         | 0.8         | 0.015        | 1                  | 1456  | 517   | 9361  | 1979  | 605   | 490   | 358   | 805   | 632   | 780   |

Продолжение таблицы 1

| Эл-нт | ПО, мкг/л | ПДК, мг/л | Класс опасности | 30/15   | 31/15    | 32/15    | 33/15    | 34/15    | 35/15 | 36/15   | 30/15-1 |
|-------|-----------|-----------|-----------------|---------|----------|----------|----------|----------|-------|---------|---------|
| B     | 0.8       | 0.50      | 2               | 175     | 278      | 276      | 277      | 274      | 18.3  | 99.4    | 177     |
| Na    | 9         | 200       | 2               | 1110898 | 3310442  | 3142955  | 3152484  | 3096475  | 7389  | 751670  | 1106074 |
| Mg    | 4         | 50        | 3               | 25246   | 177      | 171      | 7555     | 234      | 5743  | 8678    | 24589   |
| Al    | 0.8       | 0.2 (0.5) | 3               | 3194    | 6190     | 5775     | 5443     | 5533     | 2592  | 2336    | 30129   |
| Si    | 8         | 10        | 2               | 62549   | 68700    | 69614    | 68703    | 67450    | 5635  | 21475   | 104517  |
| P     | 12        |           |                 | 949     | 2294     | 2377     | 3137     | 2222     | 263   | 792     | < ПО    |
| S     | 35        |           | 4               | 237097  | 872264   | 968669   | 994852   | 960940   | 10560 | 260718  | 224033  |
| K     | 2         |           | 4               | 25350   | 55891    | 57086    | 57385    | 51814    | 1176  | 13963   | 22539   |
| Ca    | 8         |           | 4               | 455732  | 17363    | 18341    | 863275   | 19389    | 25590 | 56709   | 150497  |
| Ti    | 0.7       | 0.1       | 4               | 215     | 25.2     | 19.0     | 22.8     | 21.2     | 64.4  | 35.4    | 147     |
| V     | 0.1       | 0.1       | 3               | 55.5    | 522      | 507      | 505      | 511      | 3.7   | 116     | 127     |
| Cr    | 0.6       | 0.05      | 2               | 60.6    | 43.2     | < ПО     | < ПО     | < ПО     | < ПО  | 22.7    | 102     |
| Mn    | 0.04      | 0.1       | 4               | 6323    | 38.6     | 26.5     | 33.5     | 21.6     | 71.5  | 42.7    | 7109    |
| Fe    | 7         | 0.3       | 4               | 102410  | 706      | 520      | 1306     | 477      | 3205  | 1491    | 121703  |
| Co    | 0.06      | 0.1       | 2               | 21.5    | < ПО     | < ПО     | < ПО     | < ПО     | 1.7   | < ПО    | 23.5    |
| Ni    | 0.2       | 0.02      | 3               | 54.1    | < ПО     | < ПО     | < ПО     | < ПО     | 8.5   | 8.5     | 64.3    |
| Cu    | 0.2       | 1         |                 | 12223   | 146      | 133      | 125      | 54.1     | 6.1   | 18.7    | 3924    |
| Zn    | 0.5       | 1         | 3               | 240862  | 1504     | 1528     | 886      | 1073     | 80.5  | 594     | 238552  |
| As    | 0.07      | 0.01      | 1               | 107113  | 458619   | 453513   | 459969   | 456441   | 714   | 107166  | 104365  |
| Sr    | 0.05      | 7         | 2               | 3312    | 626      | 603      | 600      | 544      | 134   | 1043    | 2646    |
| Ba    | 0.01      | 0.7       | 4               | 2527    | 182      | 175      | 158      | 138      | 15.6  | 44.7    | 306     |
| Pb    | 0.01      | 0.01      | 2               | 30740   | 440      | 513      | 349      | 221      | 9.1   | 51.0    | 32020   |
| Li    | 5         | 0.03      | 2               | 33778   | 20116    | 23805    | 29187    | 20897    | 5796  | 13817   | 32231   |
| Be    | 5         | 0.0002    | 1               | 974     | < ПО     | < ПО     | < ПО     | < ПО     | < ПО  | < ПО    | 1694    |
| Rb    | 9         |           |                 | 37356   | 99650    | 96622    | 97075    | 96519    | 4680  | 25882   | 37335   |
| Y     | 3         |           |                 | 14283   | 99.3     | 66.2     | 140      | < ПО     | 1098  | 675     | 17560   |
| Zr    | 5         |           |                 | 4800    | 827      | 376      | 485      | 344      | 191   | 279     | 373     |
| Nb    | 3         |           |                 | 918     | 314      | 258      | 261      | 258      | 86.4  | 97.3    | 74.3    |
| Mo    | 9         | 0.07      | 3               | 129840  | 1041910  | 1012410  | 1023010  | 1021010  | 5471  | 241010  | 106070  |
| Ag    | 3         |           |                 | 3902    | < ПО     | 208      | < ПО     | < ПО     | < ПО  | < ПО    | < ПО    |
| Cd    | 6         | 0.001     | 2               | 1788275 | 15599    | 13358    | 6294     | 6427     | < ПО  | 328     | 1515384 |
| In    | 4         |           |                 | 1022791 | 11545    | 14253    | 8133     | 9075     | < ПО  | 499     | 899791  |
| Sn    | 6         |           |                 | 4379831 | 633031   | 922431   | 887435   | 916835   | 5137  | 66011   | 356031  |
| Sb    | 3         | 0.005     | 2               | 6139958 | 29279958 | 28379958 | 28839958 | 28019958 | 59498 | 7067958 | 5247958 |
| Te    | 4         |           |                 | 720513  | 87426    | 387585   | 73670    | 193479   | < ПО  | 5035    | 307617  |
| Cs    | 0.3       |           |                 | 2188    | 1770     | 1693     | 1701     | 1570     | 410   | 664     | 2212    |

Продолжение таблицы 1

| Эл-<br>нт | ПО,<br>нг/л | ПДК,<br>мг/л | Класс<br>опасности | 30/15 | 31/15  | 32/15  | 33/15  | 34/15  | 35/15 | 36/15 | 30/15-1 |
|-----------|-------------|--------------|--------------------|-------|--------|--------|--------|--------|-------|-------|---------|
| La        | 3           |              |                    | 13783 | 1954   | 1859   | 2005   | 1817   | 1050  | 1140  | 11605   |
| Ce        | 4           |              |                    | 26033 | 246    | 251    | 388    | 206    | 2299  | 1569  | 27573   |
| Pr        | 0.5         |              |                    | 3097  | 31.2   | 23.4   | 37.0   | 22.2   | 275   | 181   | 3809    |
| Nd        | 1           |              |                    | 12604 | 101    | 83.3   | 160    | 46.9   | 1072  | 746   | 16622   |
| Sm        | 0.4         |              |                    | 2928  | 26.2   | 23.8   | 9.4    | 16.5   | 249   | 183   | 3792    |
| Eu        | 0.3         |              |                    | 596   | < ПО   | < ПО   | < ПО   | < ПО   | 49.3  | 31.3  | 795     |
| Gd        | 0.4         |              |                    | 3056  | 25.5   | 21.7   | 39.8   | 28.6   | 248   | 183   | 3914    |
| Tb        | 0.3         |              |                    | 437   | < ПО   | < ПО   | < ПО   | < ПО   | 39.6  | 28.3  | 578     |
| Dy        | 0.2         |              |                    | 2685  | 19.7   | 16.0   | 28.3   | 11.1   | 213   | 149   | 3345    |
| Ho        | 0.4         |              |                    | 474   | < ПО   | < ПО   | < ПО   | < ПО   | 41.5  | 22.7  | 628     |
| Er        | 0.3         |              |                    | 1377  | < ПО   | < ПО   | < ПО   | < ПО   | 99.4  | 68.6  | 1843    |
| Tm        | 0.2         |              |                    | 186   | < ПО   | < ПО   | < ПО   | < ПО   | 15.8  | 10.0  | 228     |
| Yb        | 0.3         |              |                    | 1137  | < ПО   | < ПО   | < ПО   | < ПО   | 64.8  | 54.3  | 1512    |
| Lu        | 0.3         |              |                    | 155   | < ПО   | < ПО   | < ПО   | < ПО   | 8.7   | 7.6   | 218     |
| Hf        | 0.4         |              |                    | 150   | < ПО   | < ПО   | < ПО   | < ПО   | < ПО  | 8.4   | 29      |
| Ta        | 0.9         |              |                    | < ПО  | < ПО   | < ПО   | < ПО   | < ПО   | < ПО  | < ПО  | < ПО    |
| W         | 3           | 0.05         | 2                  | 13347 | 103448 | 105225 | 105848 | 106005 | 292   | 25345 | 475     |
| Re        | 0.5         |              |                    | 685   | 2429   | 2343   | 2419   | 2421   | < ПО  | 558   | 244     |
| Tl        | 0.4         | 0.0001       | 1                  | 12399 | 134    | 96.0   | 97.3   | 100    | 32.1  | 20.9  | 7346    |
| Bi        | 1.8         | 0.1          | 2                  | 73150 | 996    | 778    | 518    | 771    | 626   | 718   | 18811   |
| Th        | 2.1         |              |                    | 1898  | 164    | 83.1   | 77.0   | 58.2   | 491   | 127   | 396     |
| U         | 0.8         | 0.015        | 1                  | 8382  | 2776   | 2707   | 2720   | 2651   | 916   | 1246  | 11610   |

**Примечания.** Привязка проб воды: 19/15 – устье р. Цейдон; 20/15 – (фронтальная проба) – правый берега р. Ардон на южной окраине пос. Бурон; 21/15 – устье р. Большой Лавосом (правый приток р. Ардон); 22/15 – устье р. Садонка (левый приток р. Ардон); 23/15 – устье р. Бабдон (правый приток р. Ардон); 24/15 – устье р. Ардон (правый приток р. Ардон); 25/15 – устье р. Тамиск (левый приток р. Ардон) у курорта Тамиск; 26/15 – р. Ардон (конец каньона) в 200 м выше по течению от устья р. Тамиск; 28/15 – устье р. Уналдон (правый приток р. Ардон); 29/15 – из р. Ардон в 300 м выше по течению от Унальского хвостохранилища; 30/15 – отстоявшаяся за сутки прозрачная «вода» из черной жижи из пульпопровода в южной части хвостохранилища; 30-1/15 – тоже самое, что в пробе 30/15, но взятая двумя днями позже; 31/15 – из южной части «защитного» озера, западный берег; 32/15 – из центральной части «защитного» озера, западный берег; 33/15 – из северной части «защитного» озера западный берег; 34/15 – из дренажной трубы, сливающей в р. Ардон «воду» из «защитного» озера; 35/15 – из р. Ардон (левый берег) в 1 км ниже по ее течению от хвостохранилища; 36/15 – из р. Ардон (правый берег) на южной окраине г. Алагур

и природными (U и Au-W рудопроявления в верховьях р. Архон-дон) источниками вод р. Ардон на предгорной равнине перед г. Алагир, а его масштаб оценивается в 48 км.

От Унальского хвостохранилища до г. Алагир. Сравнительный анализ проб 36/15 и 35/15 показал, что в воде р. Ардон на южной окраине г. Алагир, по сравнению с водой в 1 км ниже хвостохранилища, произошло снижение (в разы) концентраций: P – в 7.5; S – в 21; Fe – в 2.2; Ti – в 1.5; и увеличение (в разы) концентраций: B – в 5.4; Na – в 3.7; Si – в 2,1; Cu – в 3.2; Zn – в 7.4; As – в 150; Pb – в 5.6; Li – в 2.4; Rb – в 5.5; Mo – в 44; Cd – в 328; Sb – в 118.8; Te – в 503; W – в 87.2; U – в 1.4. Степень загрязнения оценивается как средняя, а ее масштаб – до 20 км.

### **ВЫЯВЛЕНИЕ ОСНОВНЫХ ИСТОЧНИКОВ ЗАГРЯЗНЕНИЯ ВОД Р. АРДОН, ОЦЕНКА ИХ СТЕПЕНИ И МАСШТАБОВ СРЕДИ БОКОВЫХ ПРИТОКОВ И ВОДЫ «ЗАЩИТНОГО» ОЗЕРА**

Проба 19/15, вода из устья р. Цей-дон. Установлены превышения (в разы) ПДК для: Al – в 19.5; Fe – в 16.7. По сравнению с ФП 20/15 в ней установлены повышенные (в разы) содержания: Al и Fe – в 2.3; Si – в 1.7; P, La и Ce – в 2.7; Ti – в 2.9; V – в 2.8; Cr, Co, Ni, Zn и Ba – в 2; Cu – в 1.5; As и Rb – в 2.2; Mo – в 1.9; Cd – в 2.8; Cs – в 2.4; Tl, Th, Ta и U – в 2.5. Следовательно, вода р. Цей-дон значительно (из-за большого дебита) загрязняла в 2015 г. воду в р. Ардон вышеуказанными элементами, а природными источниками загрязнения являются многочисленные рудопроявления в долине р. Цей-дон.

Проба 21/15, вода из устья р. Большой Лабогом (правый приток р. Ардон), характеризуется повышенными (в разы), по сравнению с ФП, концентрациями: As – в 3.6; Mo – в 9.6; W – в 7.5; Re – в 6.6; U – в 18.1. Превышения ПДК не установлены ни по одному элементу. Вода р. Большой Лабогом, из-за небольшого дебита, в малой степени загрязняет (природными источниками – из рудопроявлений) воду в р. Ардон этими элементами.

Проба 22/15, вода в устье р. Садонка, характеризуется повышенными (в разы), по сравнению с ФП, концентрациями: S – в 1.3; Zn – в 5.5; Pb – в 3.5; Be – в 1.8; Rb – в 2.4; Mo – в 1.9; Ag – в 1.6; Cd – в 8.4; W – в 1.7; U – в 3.8. Вода р. Садонки из-за своего дебита слабо загрязняет воду в р. Ардон вышеуказанными элементами. Загрязнение вод р. Садонки Pb, Zn, Cd, Sb, Tl, S, U обусловлено поступлением в них шахтных вод из штолен месторождений Верхний Згид и Садон, а U поступает из базальных конгломератов нижней юры.

Проба 23/15, вода в устье р. Бад-дон. Характерны повышенные (в разы), по сравнению с ФП, концентрации: Al, Co, V, Mo – в 1.5; P и Ti – в 1.4; Cr, Zn, La и Ce – в 1.9; Fe, Cu и Bi – в 1.6; Pb – в 1.3; Li – в 2.3; Zr – в 2.5; Ni – в 2.2. Превышение ПДК (в разы) для питьевой воды установлено только для: Al – в 9.5; Fe – в 11. Вода р. Бад-дон в слабой степени загрязняет воду р. Ардон экологически опасными

элементами из-за их низких концентраций.

Проба 24/15, вода в устье р. Архон-дон. Ей присущи повышенные (в разы), по сравнению с ФП, концентрации: Al – в 4.2; Si – в 2.4; P – в 5.8; S – в 1.5; Ti – в 3.3; V и Cr – в 5.3; Mn – в 3.4; Fe – в 4.5; Ni – в 6.2; Cu – в 5.4; Zn – в 8.8; As – в 18.9; Ba – в 1.6; Pb – в 12.8; Li, Mo – в 1.3; Be – в 2.9; Rb – в 3; Y – в 2.5; Zr – в 1.9; Ag – в 11.3; Cd – в 9.9; Cs – в 3.7; W и Co – в 5.1; Tl – в 3.8; Bi – в 18.9; Th – в 2.6, а превышение (в разы) ПДК установлено для: S – в 1.2; Ti – в 1.6; Mn – в 1.7; Fe – в 33.3; As – в 2.5. Вода р. Архон-дон постоянно и в существенной степени загрязняет воду в р. Ардон вышеуказанными элементами. Повышенные содержания в воде ряда элементов обусловлены поступлением в нее шахтных вод с Архонского месторождения, а W – наличием в истоках долины Au-W рудопроявлений, ассоциирующих с дайками лиственитизированных гипербазитов фиагдонского комплекса [3].

Проба 25/15, вода из устья р. Тамиск у курорта Тамиск. В ней не установлено превышение ПДК (для питьевой воды) ни для одного из элементов, и поэтому она практически не загрязняет воды р. Ардон.

Проба 28/15, вода из устья р. Унал-дон. Ей присущи повышенные (в разы), по сравнению с ФП, концентрации: S – в 2.2; Cu – в 1.8; Zn – в 45.8; As – в 13.7; Sr – в 1.9; Ba – в 1.5; Pb – в 2.4; Mo – в 2.7; Cd – в 65.7; Sb – в 6.4; W – в 2.1; U – в 1.3. Вода р. Унал-дон в слабой степени загрязняет воду в р. Ардон вышеуказанными элементами из-за их низких концентраций, несмотря на большой дебит реки. Загрязнение вод р. Унал-дон рядом тяжелых металлов обусловлено попаданием в них шахтных вод из месторождений Холст, Джимидон, Бозанг.

Пробы 30/15 и 30-1/15 (взяты с интервалом в двое суток) – отстоявшаяся через сутки прозрачная «вода» из черной жижи, сбрасываемой по пульпопроводу в южную часть хвостохранилища. В них установлено превышение (в разы) ПДК (для питьевой воды): Na – в 5.6 и 5.5 (соответственно в пробах 30/15 и 30-1/15 – здесь и далее); Al – в 16 и 150.5; Si – в 6.2 и 10.4; S – в 23.4 и 22.4; Ti – в 2. и 1.5; V – в 0.55 и 1.27; Cr – в 1.2 и 2; Mn – в 63 и 71; Fe – в 340 и 403; Ni – в 2.7 и 3.2; Zn – в 240.8 и 238.5; As – в 10711 и 10716; Ba – в 3.6 и 0.4; Pb – в 3074 и 3202; Be – в 4.9 и 8.5; Mo – в 1.8 и 1.5; Cd – в 1788 и 1515; Sn – в 39.8 и 33.2; Sb – в 12227.8 и 1049; Tl – в 123.9 и 73.4. Следовательно, в хвостохранилище постоянно поступают хвосты обогащения, жидкая фаза которых (прозрачная «вода», появляющаяся после суток отстоя) содержит в виде коллоидной формы или истинных растворов элементы следующих классов опасности: 1-го – As, Be, Ti; 2-го – Si, Pb, Cd, Sb; 3-го – Al, Zn, Mn, Fe и 4-го – S. Такие высокие концентрации ряда элементов, не характерных для руд Садонского рудного поля, в отстоявшейся прозрачной «воде» из черной жижи, вытекающей из пульпопровода, свидетельствуют о том, что 1) на МГОФ перерабатываются привозные экологически опасные руды, или что 2) технологический процесс

флотации на МГОФ необходимо совершенствовать для снижения негативной нагрузки на экологическую обстановку региона и его главную водную артерию – реку Ардон.

Сравнительный анализ геохимических особенностей проб воды из р. Ардон, взятых в 1.0 км ниже (проба 35/15) и в 0.3 км выше (проба 29/15) по течению реки от хвостохранилища, показал, что в пробе 35/15 появились повышенные (в разы), по сравнению с пробой 29/15, концентрации: Na – в 2.6; Al, Co, Li, La, Ce и Ti – в 1.3; P – в 3.9; S – в 1.2; Ni – в 2.7; Cu и Pb – в 2; Zn – в 4.4; As – в 53.6; Ba и Rb – в 1.4; Sb – в 1001; Zr – в 10; Nb – в 1.5; Mo – в 15.8; Sn – в 63.8; W – в 12; Bi – в 23; U – в 1.2. Эти данные убедительно доказывают, что произошло значительное загрязнение вод р. Ардон водой, сливаемой из «защитного» озера и, за счет ветровой эрозии тонкодисперсного материала, обогащенного широко кругом элементов, с пляжной части хвостохранилища [4]. Превышение (в разы) ПДК (для питьевой воды) составило для: Al – 12.9; Fe – 10.6; As – 71.4; Sb – 11.9. Степень загрязнения оценивается как средняя, масштабы – в 1 км, а источник – техногенный.

Пробы «вод» 31/15 – из южной части, 32/15 – из центральной части и 33/15 – из северной части «защитного» озера, вдоль его западного берега с глубины 20–25 см. В пробах установлено превышение (в разы) ПДК (для питьевой воды): Na – в 5.6-16.6-15.7 -здесь и далее в пробах 31/15, 32/15 и 33/15 соответственно); Al – в 31-29-27; Si – в 6.8-6.9-6.8; S – в 87.2-96.8-99.4; Ca – в 0.1-0.1-4.8; V – в 5-5-5; Fe – в 2.3-1.7-4.3; Zn – в 1.5-1.5-0.88; As – в 45861-45351-45996; Pb – в 44-51.3-34.9; Mo – в 14.8-14.4-14.5; Cd – в 15.6-13.3-6; Sn – в 5.7-8.4-8; Sb – в 5840-5660-5760; W – в 2-2.1-2.1; Ti – в 1.3-0.9-0.9. Следовательно, в хвостохранилище постоянно поступают хвосты обогащения, жидкая фаза которых содержит в коллоидной форме или в виде истинных растворов элементы следующих классов опасности: 1-го – As; 2-го – Si, V, Pb, Cd, Sb; 3-го – Al, Mo и 4-го – S.

Проба 34/15 – «вода» из верхнего 3–6-сантиметрового слоя «защитного» озера, постоянно сливаемая по дренажной трубе в р. Ардон, характеризуется превышением (в разы) ПДК (для питьевой воды): Na – в 15.5; Al – в 27.5; Si – в 6.7; S – в 96; V – в 5; Fe – в 1.6; Zn – в 1.07; As – в 45644; Pb – в 22; Mo – в 14.6; Cd – в 6.4; Sn – в 8.4; Sb – в 5638; W – в 2.1. Несмотря на малый объем «воды», сливаемой в р. Ардон, она из-за высоких концентраций широкого круга элементов довольно сильно загрязняет (смотри сравнительный анализ проб 29/15 и 35/15) воду реки: Al, Zn, As, Pb, Rb, Mo, Sb, W, Ti, Y, Sn, La.

## ЗАКЛЮЧЕНИЕ

Анализ полученных данных показал, что:

1. Основным источником техногенного загрязнения вод главной водной артерии района деятельности ССЦК – реки Ардон – является Унальское

хвостохранилище. Загрязнение происходит двумя путями: за счет постоянного слива по дренажной системе осветленной воды из поверхностного слоя «защитного» озера и за счет ветровой эрозии тонкодисперсного материала (в нем установлены аномально высокие концентрации ряда экологически опасных элементов) [1] с пляжной части хвостохранилища. Этот материал разносится постоянными ветрами, в виде пылевых облаков, вверх и вниз по долине на расстояние до 5–6 км, загрязняя воду р. Ардон и почвы природных пастбищ и сельхозугодий. Загрязнение достигает средней степени, а масштаб оценивается в 20 км.

2. Боковые притоки р. Ардон, имеющие техногенные (самоизливающиеся шахтные воды) и природные (уран из базальных конгломератов, а вольфрам из лиственитизированных гипербазитов фиагонского комплекса нижнеюрского возраста) [3] источники загрязнения, в слабой степени загрязняют воду р. Ардон и поэтому относятся к второстепенным, а масштаб их негативного воздействия оценивается в 30 км.

3. Суммарная средняя степень загрязнения вод р. Ардон на южной окраине г. Алагир (проба 36/15), по сравнению с фоновой пробой ФП 20/15, определена превышением (в разы) концентраций следующих элементов в пробе 36/15: **B** – в 5.1; **Na** – в 271; **Mg, V, Fe** – в 1.5; **Al** – в 1.8; **Si** – в 4.7; **P** – в 15; **S** – в 32.4; **K** – в 15.9; **Ca** – в 2.2; **Ti** – в 1.3; **Mn, Y** – в 1.4; **Co, Rb** – в 1.9; **Ni** – в 4.5; **Cu** – в 3.4; **Zn** – в 19.6; **As** – в 549; **Ba** – в 1.7; **Pb** – в 7.6; **Zr** – в 12.7; **Mo** – в 22; **Sn** – в 156; **Sb** – в 358; **Cs** – в 1.6; **La, Ce** – в 1.7; **W** – в 27.8; **Tl** – в 1.8; **Bi** – в 45.4; **U** – в 1.8, но превышение (в разы) ПДК (для питьевой воды) установлено для: **Al** – в 12.9; **Fe** – в 10.7; **As** – в 71; **Sb** – в 11.9. Следовательно, фиксируется процесс интенсивного и постоянного загрязнения вод р. Ардон широким кругом элементов, среди которых имеются элементы: 1-го класса опасности – Ti, As; 2-го класса – Co, Ni, B, Si, Pb, W, Bi, Na, Sb; 3-го класса – Cu, Zn, Mo. Масштаб загрязнения, по данным опробования 2015 г., оценивается в 48 км. Этими данными доказано, что в воде р. Ардон постоянно накапливаются элементы трех классов опасности, которые могут проникать, путем инфильтрации, в подземную гидросферу (водоносные горизонты) и накапливаться на природных геохимических барьерах, расположенных в низовьях долины р. Ардон или в долине р. Терек, после впадения в нее р. Ардон и далее до Каспийского моря.

4. Установлены в пробах воды (31/15 – «вода» из южной, 32/15 – «вода» из центральной и 33/15 – «вода» из северной частей «защитного» озера) превышения (в разы) ПДК (для питьевой воды) для: **Na** – в 5.6-16.6-15.7 (здесь и далее для проб 31/15, 32/15 и 33/15 соответственно); **Al** – в 31-29-27; **Si** – в 6.8-6.9-6.8; **S** – в 87.2-96.8-99.4; **Ca** – в 0.1-0.1-4.8; **V** – в 5-5-5; **Fe** – в 2.3-1.7-4.3; **Zn** – в 1.5-1.5-0.88; **As** – в 45861-45351-45996; **Pb** – в 44-51.3-34.9; **Mo** – в 14.8-14.4-14.5; **Cd** – в 15.6-13.3-6; **Sn** – в 5.7-8.4-8; **Sb** – в 5840-5660-5760; **W** – в 2-2.1-2.1; **Tl** – в

1.3-0.9-0.9. Это позволило предполагать, что такие высокие концентрации ряда элементов в воде «защитного» озера, не характерных для руд Садонского рудного поля, свидетельствуют о том, что: 1) на МГОФ перерабатываются привозные с других месторождений экологически опасные руды; 2) технологический процесс флотации на МГОФ необходимо совершенствовать для снижения негативной нагрузки на экологическую обстановку региона и его главную водную артерию – р. Ардон; 3) за длительное время хранения промышленных отходов в них, под влиянием внутренних (остатки химических реагентов флотации) и внешних (нагрев воды солнечной энергией) факторов, образовались в разной степени подвижные и растворимые минеральные формы или соединения ряда металлов; 4) за счет инфильтрации эти металлы могут проникать в подземную гидросферу и загрязнять водоносные горизонты, вода из которых на равнине (г. Алагир, пос. Ардон и др.) используется для полива сельхозугодий и питьевого водоснабжения населения.

5. На отрезке от хвостохранилища и до курорта Тамиск, расположенного при выходе реки на предгорную равнину, р. Ардон протекает в каньоне, где имеет большую скорость течения (2.3 м/сек), а далее на равнине и до впадения в р. Терек ее скорость резко снижается до 1.6 м/сек в районе г. Алагир и до 1.5 м/сек ниже по течению реки. Это отразилось в разных мощностях и составах сформировавшихся донных осадков, что обусловлено тем, что на протяжении 55 лет (до 1 января 1984 г.) МГОФ (с производительностью до 20 000 тонн руды/сутки) работала в режиме зимнего хранения хвостов и ежегодного их полного сбрасывания в р. Ардон в весенний паводковый период. В результате произошло их дифференцированное отложение в аллювиальных донных речных отложениях. В каньоне, где скорость течения высокая, отложение

тонкодисперсного материала хвостов в донных осадках было минимальным, а при выходе реки на предгорную равнину, где скорость ее течения резко снижалась, оно было максимальным. Донные осадки в равнинной части реки, обогащенные рудными минералами, могут постоянно поставлять (в виде взвесей, коллоидов или истинных растворов) в воду новообразованные подвижные минеральные формы или элементы и загрязнять ее. Это подтверждено результатами сравнительного геохимического анализа проб воды на равнине и в каньоне (в районе курорта Тамиск). Так, в воде р. Ардон, в ее равнинной части (окраина г. Алагир) наблюдаются превышения (в разы), по сравнению с водой на выходе из каньона, концентрации более широкого круга элементов: **B** – в 4.6; **Na** – в 175; **Si** – в 2.6; **P** – в 4.9; **S** – в 22; **Ca** – в 1.6; **Ni** – в 1.4; **Cu** – в 3.4; **Zn** – в 18; **As** – в 20.3; **Sr** – в 3.8; **Ba** – в 2.6; **Pb** – в 3.8; **Li** – в 1.8; **Mo** – в 648; **Cd** – в 2.9; **Sn** – в 5 842; **Sb** – в 2 703; **Cs** – в 1.4; **W** – в 16.6; **Bi** – в 8.7; **U** – в 1.4.

*Работа выполнена по плану НИОКТР КНИО ВНЦ РАН: АААА-А17-117060910043-8 на 2018 г. при финансовой поддержке Проекта 1.39 «Проблемно-ориентированные исследования техногенных отходов горнорудных предприятий Северного Кавказа и Забайкалья: размещение, вещественно-минеральный состав, оценка воздействия на экосистемы» в рамках Программы фундаментальных исследований Президиума РАН № 39 «Фундаментальные основы и энергоэффективные, ресурсосберегающие, инновационные технологии переработки минерального сырья, утилизации промышленных и бытовых отходов».*

*Авторы статьи выражают искреннюю благодарность главе Унальского сельского поселения Алагирского района РСО-А Т.Б. Маргиеву за постоянную и бескорыстную помощь в проведении экспедиционных работ и опробовании хвостохранилища Мизурской обогатительной фабрики и сельхозугодий в населенных пунктах района.*

## ЛИТЕРАТУРА

- Гурбанов А.Г., Шаззо Ю.К., Лексин А.Б. и др.** Промышленные отходы Мизурской горно-обогатительной фабрики Садонского свинцово-цинкового комбината: геохимические особенности, оценка их воздействия на экологическую обстановку прилегающих территорий (почвы и воду р. Ардон), Республика Северная Осетия -Алания // Вестник ВНЦ РАН. 2012. Т.12. №4 . С. 27–40.
- Гурбанов А.Г., Винокуров С.Ф., Газеев В.М. и др.** Содержание макро- и микроэлементов в поверхностных водах в районе деятельности Садонского свинцово-цинкового комбината (ССЦК) и на прилегающих территориях (Республика Северная Осетия-Алания, РФ) для выявления основных источников загрязнения гидросферы и меры по восстановлению экосистемы// Вестник ВНЦ РАН. 2016. Т. 16. № 2. С. 42–54.
- Гурбанов А.Г., Газеев В.М., Лексин А.Б., Докучаев А.Я. и др.** Палеогеодинамические реконструкции и минерагения раннеюрского базальт-гипербазитового фиагдонского комплекса (Республика Северная Осетия-Алания, Кавказ, РФ) по петрохимическим, геохимическим и изотопным данным // Геология и геофизика Юга России. 2017. № 4. С. 22–38.
- Гурбанов А.Г., Кусраев А.Г., Лолаев А.Б., Дзобоев С.О. и др.** Геохимические особенности промышленных отходов Мизурской горно-обогатительной фабрики (Унальское хвостохранилище, Республика Северная Осетия-Алания) как основа для оценки масштабов загрязнения ими почв прилегающих территорий // Геология и геофизика Юга России. 2018. № 1. С. ???
- Матвеев А.А., Пряничникова Е.В., Шестакова Т.В. и др.** Геохимическая оценка воздействия Унальского хвостохранилища Садонского свинцово-цинкового комбината (Северная Осетия-Алания) на окружающую среду // Изв. секции наук о Земле РАЕН. Вып. 12. М. 2004. С. 136–147.
- Пряничникова Е.В.** Оценка геолого-геохимического состояния природных сред в районе Унальского хвостохранилища ССЦК // 3-я экологическая конференция студентов и молодых ученых вузов г. Москвы «Охрана окружающей среды на пороге 3-го тысячелетия и в интересах устойчивого развития». М., 1999. С. 127–130.
- Пряничникова Е.В.** Оценка загрязнения поверхностных вод и донных отложений тяжелыми металлами в горнорудном районе // V Межвузовская молодежная научная конференция «Школа экологической геологии и рационального недропользования». СПб., 2004. С. 273–275.
- Пряничникова Е.В.** Эколого-геохимические исследования в горно-рудных районах (на примере Северной Осетии) // Вестник Московского университета. Серия 4. Геология. № 2. 2005. С. 48–54.